DOI:10.20038/j.cnki.mra.2022.000515

# In³+掺杂显著提高碳基 CsPbI₂Br 钙钛矿太阳能 电池性能

符祥,周凯,钱艳楠\*

(广东工业大学材料与能源学院,广东广州 510006)

摘要:碳基全无机  $CsPbI_2Br$  钙钛矿 太阳能电池具有成本低、器件结构简单、稳定性好等优点,是一种很有前景的光伏电池。然而,其能量转换效率仍然过低,主要原因在于难以获得质量良好的  $CsPbI_2Br$  薄膜。为了获得质量良好的  $CsPbI_2Br$  薄膜,通过在  $CsPbI_2Br$  钙钛矿前驱体溶液中添加  $InI_3$ ,将  $In^{3+}$ 掺杂到  $CsPbI_2Br$  晶体结构中以改善钙钛矿薄膜的质量。利用 SEM 和 XRD 对钙钛矿薄膜的微观形貌及晶体结构进行表征分析,并系统地测试了器件的光伏性能,包括开路电压、短路电流密度、填充因子、能量转换效率、外量子效率和积分电流密度。结果表明:  $In^{3+}$ 掺杂可调控  $CsPbI_2Br$  晶体的生长,通过提高其结晶性获得了致密、无孔洞的高质量钙钛矿薄膜;同时,通过调控  $InI_3$ 的添加量,优化了  $In^{3+}$ 掺杂的比例,当  $InI_3$ 添加量(质量分数)为0.5% 时  $CsPbI_2Br$  钙钛矿 太阳能电池的光伏性能提高更为显著,其器件能量转换效率从7.59% 提高至11.16%,开路电压从1.04 V 提高至 1.22 V。

关键词:碳基钙钛矿太阳能电池;In3+掺杂;CsPbI2Br,无空穴层

中图分类号: 0631.2

文献标志码:A

文章编号:1673-9981(2022)05-0819-05

引文格式: 符祥, 周凯, 钱艳楠.  $\ln^{3+}$ 掺杂显著提高碳基 $CsPbI_2Br$  钙钛矿太阳能电池性能[J]. 材料研究与应用, 2022, 16(5): 819-823.

FU Xiang, ZHOU Kai, QIAN Yannan. In<sup>3+</sup> Doping Significantly Improves the Performance of Carbon-Based CsPbI<sub>2</sub>Br Perovskite Solar Cell[J]. Materials Research and Application, 2022, 16(5):819-823.

短短十几年来,有机-无机杂化钙钛矿太阳能电池(Perovskite Solar Cells, PSCs)的能量转换效率取得了惊人的增长,从3.8%提高至25.5%[1-3]。然而,有机阳离子(如甲胺离子、甲酰胺离子)受热易挥发或分解的特点,导致了有机-无机钙钛矿材料的热稳定性差[4-6]。通过无机铯离子完全取代有机阳离子的全无机钙钛矿 CsPbX<sub>3</sub>(X=I、Br、C1)具有优异的热稳定性及与有机-无机杂化钙钛矿类似的光电性能,其迅速引起人们广泛的关注[7]。在全无机钙钛矿中,CsPbBr<sub>3</sub>的带隙宽度比较大(2.3 eV),对太阳光吸收不理想;CsPbI<sub>3</sub>虽具有理想的带隙1.73 eV,但其立方结构钙钛矿相稳定性差,常温下

易发生相转变;而  $CsPbI_2Br$  不仅具有合适的带隙 (1.92~eV),而且立方结构钙钛矿相更稳定 [8.9]。因此,开发高效、稳定的  $CsPbI_2Br$  PSCs 的工作越来越受到重视。

为进一步降低 PSCs 的制造成本,鉴于碳电极具有合适的费米能级(5.0 eV)、化学惰性及简单的制备工艺,碳基钙钛矿太阳能电池(Carbon-Based Perovskite Solar Cells, C-PSCs)进入了人们的视野<sup>[10-11]</sup>。然而,相比传统的 PSCs,C-PSCs能量转换效率的增长相对滞后。为制备高性能的 C-PSCs,获得表面致密、晶粒大、缺陷密度低的钙钛矿薄膜非常关键。迄今为止,人们已经开发出多种方法来提高

收稿日期:2022-03-23

基金项目:广州市科技重大专项基金资助项目(201804020005);广东省自然科学基金青年杰出人才资助项目(2015A030306041);广东省 青年拔尖科技创新人才资助项目(2015TQ01N060)

作者简介: 符祥(1992-), 男, 江西上饶人, 博士研究生, 主要研究方向为钙钛矿太阳能电池, E-mail: 1028254872@qq. com。

通信作者:钱艳楠(1982-),女,广东广州人,副教授,主要研究方向为上转换材料及钙钛矿材料,Email: qianyannan@gdut.edu.cn。

 $CsPbI_2Br$  无机钙钛矿薄膜的质量 $^{[12-14]}$ 。Chen 等 $^{[15]}$  将乙酸乙酯作为反溶剂,获得了致密、大晶粒的  $CsPbI_2Br$  薄膜,基于 FTO/c- $TiO_2/CsPbI_2Br/C$  结构的  $CsPbI_2Br$  C-PSCs 能量转换效率为 10%。 Guo 等 $^{[16]}$  将铌 $(Nb^{5+})$ 掺杂到  $CsPbI_2Br$  结构中,制备出  $CsPbI_2Br$  无机钙钛矿薄膜,基于  $FTO/SnO_2/CsPbI_2Br/C$  结构的  $CsPbI_2Br$  C-PSCs 的能量转换效率为 10.45%。

通过在  $CsPbI_2Br$  钙钛矿 前驱体溶液中加入  $InI_3$ ,将  $In^{3+}$ 掺杂到  $CsPbI_2Br$  结构中,通过调控  $InI_3$ 的 加入量而优化  $In^{3+}$ 的掺杂浓度,制备了结构为 FTO/c- $TiO_2/m$ - $TiO_2/CsPbI_2Br/C$  的  $CsPbI_2Br$  C-PSCs。相比于未掺杂的  $CsPbI_2Br$  C-PSCs(能量转换效率 7.59%),基于 0.5% 的  $In^{3+}$ 掺杂的  $CsPbI_2Br$  C-PSCs 的能量转换效率为 11.16%,且开路电压达到 1.22~V。

### 1 实验部分

#### 1.1 实验试剂

实验所用的试剂为碘化铯(CsI)、碘化铅 ( $PbI_2$ )、溴化铅( $PbBr_2$ )、碘化铟( $InI_3$ ),以及钛酸异丙酯( $Titanium\ isopropoxide$ )、无水乙醇(Ethanol)、盐酸(HCl)、二氧化钛浆料(18NR-T)、丙酮(Acetone)、二甲基亚砜(DMSO)和低温碳浆料。

#### 1.2 钙钛矿薄膜的制备

#### 1.2.1 CsPbI<sub>2</sub>Br前驱体溶液的配制

将 CsI、 $PbI_2$ 和  $PbBr_2$ 按质量比 1:0.5:0.5进行称量,然后在二甲基亚砜溶剂 (DMSO)中混合,最终制得的  $CsPbI_2$ Br前驱体溶液的浓度为 1  $mol\cdot L^{-1}$ 。而 0.5%  $InI_3$ - $CsPbI_2$ Br 和 1%  $InI_3$ - $CsPbI_2$ Br 前驱体溶液的配制,按  $CsPbI_2$ Br 前驱体溶液的配制,按  $CsPbI_2$ Br 前驱体溶液的摩尔浓度比加人,即在  $CsPbI_2$ Br 前驱溶液中分别加入 5 和 10 mmol 0  $InI_3$ 。

#### 1.2.2 c-TiO2前驱体溶液的配制

将钛酸异丙酯(750 mL)、无水乙醇(10 mL)、2 mol·L $^{-1}$ 的盐酸(70  $\mu$ L)进行混合,摇匀,即得c-TiO $_2$ (compact TiO $_2$ )前驱体溶液。

#### 1.2.3 m-TiO<sub>2</sub>溶胶的制备

将 18NR-T 浆料和乙醇溶液按质量比 1:15 进行称取,然后溶解于乙醇溶剂中,混合均匀后即得  $m-TiO_2$  (mesoporous  $TiO_2$ )溶胶。

#### 1.2.4 钙钛矿薄膜的制备

首先用去离子水、洗涤剂、丙酮、乙醇依次超声清洗掺杂氟的SnO2导电玻璃(SnO2:F,FTO)表面

并吹干,使用紫外灯对FTO表面照射20 min,将c-TiO<sub>2</sub>前驱体溶液滴加在FTO表面,以3000 r·min<sup>-1</sup>旋涂30 s,接着在空气中500 °C下烧结60 min,待冷却至室温后,在FTO/c-TiO<sub>2</sub>基底上滴加m-TiO<sub>2</sub>溶胶,以4000 r·min<sup>-1</sup>旋涂30 s,再在空气中450 °C下烧结30 min,待FTO/c-TiO<sub>2</sub>/m-TiO<sub>2</sub>基底冷却至室温后,用紫外灯对其表面照射15 min后转移至氮气手套箱中。然后在FTO/c-TiO<sub>2</sub>/m-TiO<sub>2</sub>基底上分别滴加 CsPbI<sub>2</sub>Br、0.5%InI<sub>3</sub>-CsPbI<sub>2</sub>Br、1%InI<sub>3</sub>-CsPbI<sub>2</sub>Br前驱体溶液,先以1000 r·min<sup>-1</sup>旋涂15 s,再以3000 r·min<sup>-1</sup>旋涂30 s,接着在60 °C下预退火60 s,随后转移至高温热台上280 °C下退火3 min。最后待CsPbI<sub>2</sub>Br薄膜冷却室温,在其表面刮涂低温碳浆料,然后120 °C下退火15 min 以除去碳浆料中的溶剂。

#### 1.3 表征与测试

利用冷场发射扫描电镜(SEM,SU8010),对钙钛矿薄膜的微观形貌进行观察。通过 X 射线衍射仪(XRD,Ultima-IV,Cu,K $\alpha$  射线, $\lambda$ =1.5406Å),对钙钛矿薄膜的物相结构进行分析。利用经标准硅电池校正的太阳光模拟器(Newport 150 Oriel 92252A)测试钙钛矿太阳能电池的光伏性能,其中光强为100 mW·cm<sup>-2</sup>(AM 1.5 G)。通过数字源表(Keithley 2400)采集数据,器件有效面积为(0.09 cm²),从1.3 V到-0.1 V以反扫的方式进行测试,其中扫描速率为200 mV·s<sup>-1</sup>。利用太阳能电池量子效率测试系统(SCS 100),对器件的外量子效率进行测试。

## 2 结果与分析

图 1 为 CsPbI<sub>2</sub>Br、0. 5% InI<sub>3</sub>-CsPbI<sub>2</sub>Br 和 1% InI<sub>3</sub>-CsPbI<sub>2</sub>Br 薄膜的 XRD 衍射图。从图 1 可见:在 14. 6 和 29. 5°处均出现了 CsPbI<sub>2</sub>Br 立方结构的(100)晶面、(200)晶面的衍射峰<sup>[16]</sup>;随着 In<sup>3+</sup>掺杂浓度的提高,0. 5% InI<sub>3</sub>-CsPbI<sub>2</sub>Br 及 1% InI<sub>3</sub>-CsPbI<sub>2</sub>Br 的(100)和(200)衍射峰相比于 CsPbI<sub>2</sub>Br都向高角度偏移,表明 In<sup>3+</sup>离子的掺杂可以抑制钙钛矿晶体沿(100)晶向方向生长,这可能会导致其表面形貌发生变化。

图 2 为 CsPbI<sub>2</sub>Br、0.5% InI<sub>3</sub>-CsPbI<sub>2</sub>Br 和 1% InI<sub>3</sub>-CsPbI<sub>2</sub>Br 薄膜的 SEM 表面形貌图。从图 2 可明显看到: CsPbI<sub>2</sub>Br 薄膜表面存在大量孔洞,这会严重降低载流子的传输效率,提高载流子的非辐射复合概率,进而导致 PSCs 能量转换效率的降低;而在CsPbI<sub>2</sub>Br 前驱体溶液中加入 0.5% InI<sub>3</sub>,获得了光滑、致密的钙钛矿薄膜, 0.5% InI<sub>3</sub>-CsPbI<sub>2</sub>Br 薄膜表

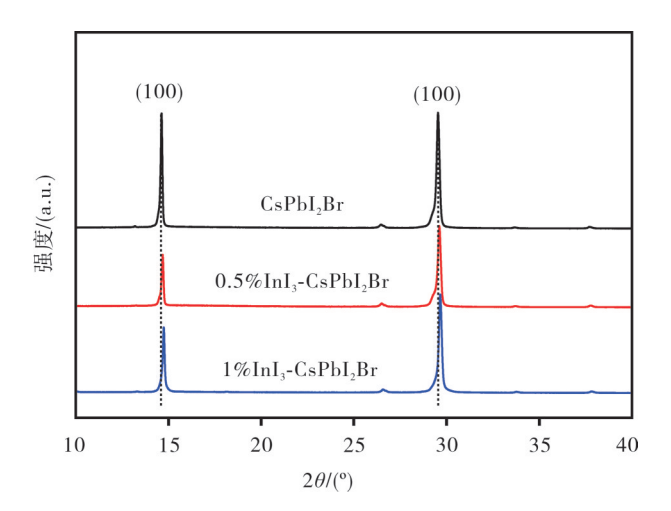


图 1 CsPbI<sub>2</sub>Br、0.5%InI<sub>3</sub>-CsPbI<sub>2</sub>Br 和 1%InI<sub>3</sub>-CsPbI<sub>2</sub>Br 薄膜的XRD衍射图

Figure 1 XRD patterns of  $CsPbI_2Br$ , 0.5%  $InI_3$ - $CsPbI_2Br$  and 1%  $InI_3$ - $CsPbI_2Br$  films

面上的孔洞消失且表面更加致密,这表明了In³+离子的掺杂能有效改善薄膜的质量;当InI₃在CsPbI₂Br

前驱溶液中的加入量提高至 1% 后,1% InI<sub>3</sub>-CsPbI<sub>2</sub>Br薄膜表面出现了白色颗粒,这可能是 In<sup>3+</sup>离子的掺杂提高后在钙钛矿薄膜表面形成了 InI<sub>3</sub>。

为了验证 In3+掺杂对 CsPbI<sub>2</sub>Br PSCs 电池性能 的影响,制备了CsPbI<sub>2</sub>Br C-PSCs,该器件的结构及 电流密度-电压(J-V)曲线如图3所示,相应的光伏 性能参数列于表 1。从图 3(a)可见, CsPbI<sub>2</sub>Br C-PSCs 器件的结构为 FTO/c-TiO<sub>2</sub>/m-TiO<sub>2</sub>/ CsPbI<sub>2</sub>Br/C。从图 3(b)可见:由于CsPbI<sub>2</sub>Br薄膜表 面存在大量的孔洞,严重降低了CsPbI<sub>2</sub>Br C-PSCs 的开路电压  $V_{\infty}(1.04 \text{ V})$  和填充因子 FF(57.37%), 导致其能量转换效率 PCE 仅为 7.59%;而 In3+掺杂 使得CsPbI2Br薄膜的孔洞消失、表面更加致密光 滑,相比于CsPbI<sub>2</sub>Br C-PSCs和0.5%InI<sub>3</sub>-CsPbI<sub>2</sub>Br C-PSCs, 其  $V_{oc}$  及 FF 分别显著提高至 1.22 V 和 68.83%,器件的PCE为11.16%;随着In3+掺杂比 例的升高,1%InI<sub>3</sub>-CsPbI<sub>2</sub>Br C-PSCs的性能相比于 0.5% InI<sub>3</sub>-CsPbI<sub>2</sub>Br C-PSCs 有明显的下降,器件的 PCE为9.53%,但依然要优于CsPbI₂Br C-PSCs。

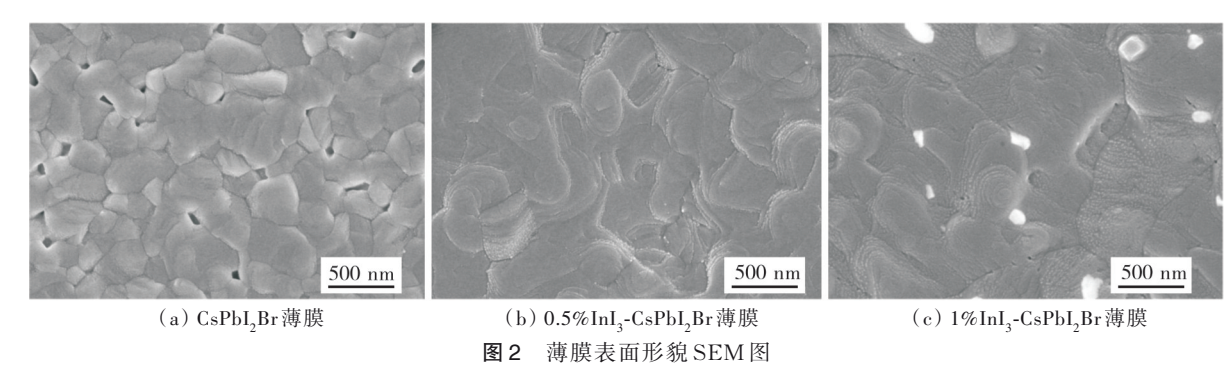


Figure 2 SEM surface morphology of  $CsPbI_2Br$  thin film,  $0.5\%InI_3$ - $CsPbI_2Br$  thin film, and  $0.1\%InI_3$ - $CsPbI_3Br$  thin film

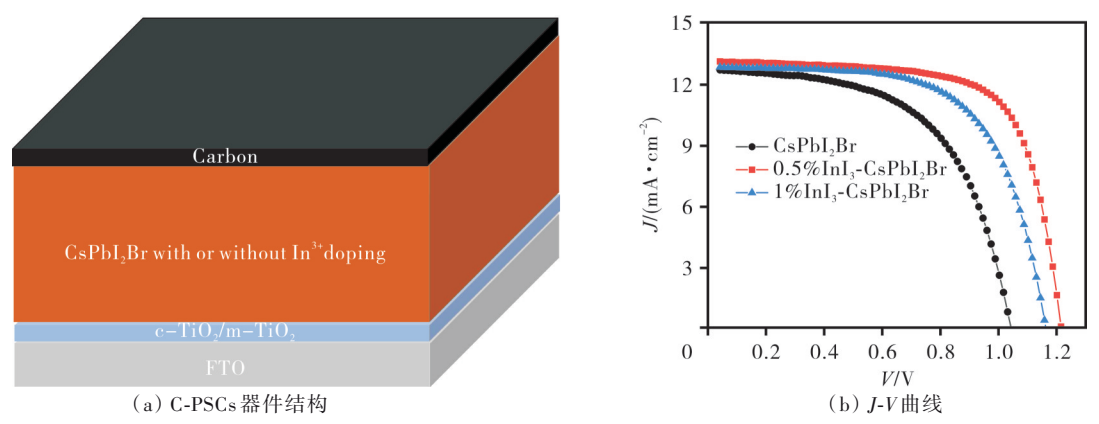


图3 CsPbI<sub>2</sub>Br C-PSCs 器件的结构及其 J-V 曲线

Figure 3 Schematic diagram of C-PSCs structure, and J-V curves of CsPbI<sub>2</sub>Br, 0.5% InI<sub>3</sub>-CsPbI<sub>2</sub>Br, 1% InI<sub>3</sub>-CsPbI<sub>2</sub>Br C-PSCs

	表 1	CsPbl <sub>2</sub> Br,0.5%Inl <sub>3</sub> -CsPbl <sub>2</sub> B	r和 1%InI₃-CsPbI₂E	Br的 C-PSC	s光伏性能参	数
Table 1	Dhotovoltoi	a parformance parameters of	CcPhl Br 0.5% Inl	CoDhl Dr	and 10/Inl	CoDbl Dr C

Table 1	Photovoltaic performance	parameters of CsP	Br.0.5%Inl。-C،	SPbl <sub>s</sub> Br. and 1%Ir	ااه-CsPblهBr C-PSCs

器件	$V_{ m oc}/{ m V}$	短路电流密度 $J_{\rm sc}/({\rm mA\cdot cm^{-2}})$	FF/%	PCE/%
CsPbI <sub>2</sub> Br C-PSCs	1.04	12.72	57.37	7.59
$0.5\% In I_3\text{-}CsPb I_2BrC\text{-}PSCs$	1.22	13. 10	68.83	11.16
$1\% InI_3$ -CsPb $I_2$ Br C-PSCs	1.16	12.83	64.03	9.53

图 4 为 CsPbI<sub>2</sub>Br C-PSCs、0.5%InI<sub>3</sub>-CsPbI<sub>2</sub>Br C-PSCs 和 1% InI<sub>3</sub>-CsPbI<sub>2</sub>Br C-PSCs 的外量子效率 EQE和积分电流密度。从图4可见:由于In3+的掺 杂改善了 CsPbI<sub>2</sub>Br 薄膜的质量, 所以 0.5% InI<sub>3</sub>-CsPbI<sub>2</sub>Br C-PSCs 和 1%InI<sub>3</sub>-CsPbI<sub>2</sub>Br C-PSCs 的 EQE要高于CsPbl<sub>2</sub>Br C-PSCs;对EQE曲线积分得 到的CsPbI<sub>2</sub>Br C-PSCs、0.5%InI<sub>3</sub>-CsPbI<sub>2</sub>Br C-PSCs 和 1%InI<sub>3</sub>-CsPbI<sub>2</sub>Br C-PSCs 的 J<sub>sc</sub> 分别为 12.01、 12.46和12.08 mA·cm<sup>-2</sup>,相比J-V曲线获得的短路 电流密度 $J_{sc}$ 要低,这是因为外量子效率测试系统所 用的光源与太阳光模拟器的光源不一致导致。

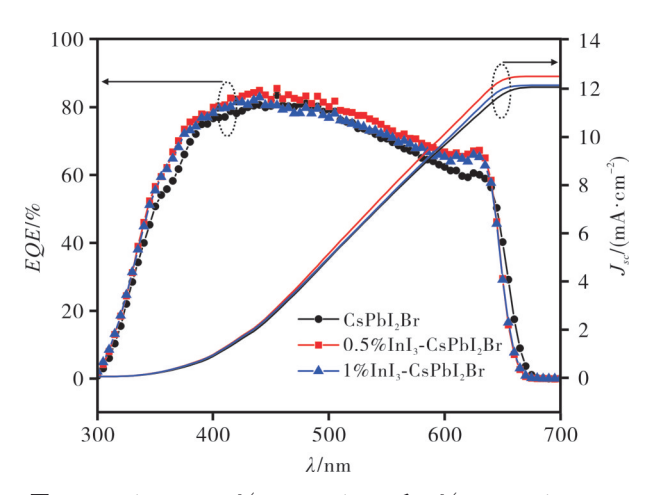


图 4 CsPbI<sub>2</sub>Br<sub>5</sub>0.5%InI<sub>3</sub>-CsPbI<sub>2</sub>Br和1%InI<sub>3</sub>-CsPbI<sub>2</sub>Br C-PSCs器件的外量子效率曲线及积分电流密度

Figure 4 External quantum efficiency curves and integral current density of CsPbI<sub>2</sub>Br, 0.5% InI<sub>3</sub>-CsPbI<sub>2</sub>Br, and 1%InI<sub>3</sub>-CsPbI<sub>2</sub>Br C-PSCs

#### 3 结论

CsPbI<sub>2</sub>Br钙钛矿结构中掺杂In<sup>3+</sup>,可有效调控 钙钛矿晶体的生长,从而消除 CsPbI<sub>2</sub>Br 表面的孔 洞,获得更加致密、光滑的薄膜。相比于CsPbI2Br C-PSCs(PCE 为 7.59%), In3+的掺杂有利于提高器 件的光伏性能。通过优化 In3+掺杂浓度,基于 0.5%InI<sub>3</sub>-CsPbI<sub>2</sub>Br C-PSCs 的 PCE 为 11.16%, 开 路电压达到了1.22 V,表明通过In3+掺杂可有效地

提高 PSCs 的光伏性能,为后续研究提供了可行的 方向。

#### 参考文献:

- [1] KOJIMA A, TESHIMA K, SHIRAI Y, et al. Organometal halide perovskites as visible-light sensitizers for photovoltaic cells [J]. Journal of the American Chemical Society, 2009, 131 (17): 6050-6051.
- [2] TAYLOR A D, SUN Q, GOETZ K P, et al. A general approach to high-efficiency perovskite solar cells by any antisolvent [J]. Nature Communications, 2021, 12(1): 1878.
- [3] YOO J J, SEO G, CHUA M R, et al. Efficient perovskite solar cells via improved carrier management [J]. Nature, 2021, 590: 587-593.
- [4] LEE JW, KIM DH, KIM HS, et al. Formamidinium and cesium hybridization for photo- and moisture-stable perovskite solar cell [J]. Advanced Energy Materials, 2015, 5(20): 1501310.
- [5] SMECCA E, NUMATA Y, DERETZIS I, et al. Stability of solution-processed MAPbI3 and FAPbI3 layers [J]. Physical Chemistry Chemical Physics, 2016, 18(19): 13413-13422.
- [6] YANG J, KELLY T L. Decomposition and cell failure mechanisms in lead halide perovskite solar cells [J]. Inorganic Chemistry, 2017, 56(1): 92-101.
- [7] TAI Q, TANG K C, YAN F. Recent progress of inorganic perovskite solar cells [J]. Energy & Environmental Science, 2019, 12: 2375-2405.
- [8] CHEN W, CHEN H, XU G, et al. Precise control of crystal growth for highly efficient CsPbI2Br perovskite solar cells [J]. Joule, 2019, 3(1):191-204.
- [9] ULLAH S, WANG J, YANG P, et al. All-inorganic CsPbI2Br perovskite solar cells: Recent developments and challenges [J]. Energy Technology, 2021, 9(12): 2100691.
- [10] BOGACHUK D, **ZOUHAIR** S, WOJCIECHOWSKI K, et al. Low-temperature carbon-based electrodes in perovskite solar cells [J]. Energy & Environmental Science, 2020, 13 (11): 3880-3916.

- [11] MI L, ZHANG Y, CHEN T, et al. Carbon electrode engineering for high efficiency all-inorganic perovskite solar cells [J]. RSC Advances, 2020, 10(21): 12298-12303.
- [12] LIH, YIN L. Efficient bidentate molecules passivation strategy for high-performance and stable inorganic CsPbI<sub>2</sub>Br perovskite solar cells [J]. Solar RRL, 2020, 4(10): 2000268.
- [13] LIZ, WU W, REN G, et al. Using 4-chlorobenzoic acid layer toward stable and low-cost CsPbI<sub>2</sub>Br perovskite solar cells [J]. Solar RRL, 2021, 5(9): 2100347.
- [14] YE L, WANG H, WEI Y, et al. Acetate-based crystallization kinetics modulation of CsPbI<sub>2</sub>Br for improved photovoltaic performance [J]. ACS Applied Energy Materials, 2020, 3(1): 658-665.
- [15] DONG C, HAN X, ZHAO Y, et al. A green antisolvent process for high performance carbon-based CsPbI<sub>2</sub>Br all-inorganic perovskite solar cell [J]. Solar RRL, 2018, 2(9): 1800139.
- [16] GUO Z, ZHAO S, LIU A, et al. Niobium incorporation into CsPbI<sub>2</sub>Br for stable and efficient allinorganic perovskite solar cells [J]. ACS Applied Materials & Interfaces, 2019, 11(22): 19994-20003.

# In<sup>3+</sup> Doping Significantly Improves the Performance of Carbon-Based CsPbI<sub>2</sub>Br Perovskite Solar Cell

FU Xiang, ZHOU Kai, QIAN Yannan\* (School of Materials and Energy, Guangdong University of Technology, Guangzhou 510006, China)

Abstract: Carbon-based all-inorganic CsPbI<sub>2</sub>Br perovskite solar cells (C-PSCs) have the advantages of low cost, simple device structure and good stability, and are a promising photovoltaic cell. However, its energy conversion efficiency is still too low, mainly because it is difficult obtain good quality CsPbI<sub>2</sub>Br films. This paper investigated the possibility of doping In<sup>3+</sup> into the CsPbI<sub>2</sub>Br crystal structure to improve the quality of perovskite films by adding InI<sub>3</sub> to the CsPbI<sub>2</sub>Br perovskite precursor solution. The microscopic morphology and crystal structure of the perovskite thin films were characterized by SEM and XRD, and the photovoltaic properties of the devices were systematically tested, including open-circuit voltage, short-circuit current density, fill factor, energy conversion efficiency, external quantum efficiency and integrated current density. The results show that: In<sup>3+</sup> doping can control the growth of CsPbI<sub>2</sub>Br crystals, and obtain dense, void-free high-quality perovskite films by improving its crystallinity; the photovoltaic performance of the 0.5% InI<sub>3</sub>CsPbI<sub>2</sub>Br perovskite solar cell was improved more significantly, the device energy conversion efficiency increased from 7.59% to 11.16%, and the open circuit voltage increased from 1.04 V to 1.22 V.

**Keywords:** carbon-based perovskite solar cells; In<sup>3+</sup> doping; CsPbI<sub>2</sub>Br; free-hole transfer layer

(学术编辑:褚欣)